

Parti pris \rightarrow seulement graphes orientés \rightarrow pas un bon choix.

Graphes : représentations et algorithmes

les graphes permettent de modéliser de nombreux problèmes de logistique, comme la gestion de stock, l'implantation de réseaux, la distribution...

I Définitions minimales

2.0. Def $G=(V,E)$ est un graphe orienté si $\begin{cases} V \text{ est un ensemble fini non vide} \\ E \subset V \times V = \{(x,y) \in V^2 \mid x \neq y\} \end{cases}$.
 On appelle sommet les éléments de V et arcs ceux de E .
 On appelle ordre du graphe $\#V$, et taille du graphe $\#E$. (cf fig 1)

Rq Le terme graphe dirigé aussi des graphes non orientés que l'on définit dans la section II.2.

1) Graphe partiel et graphe induit

I.1 Def $G'=(V',E')$ est un graphe partiel de G si $\begin{cases} V' \subset V, E' \subset E \\ \text{induit} \text{ si } V' \subset V, E' = \{(x,y) \in E \mid x,y \in V'\} \end{cases}$

I.2 Rq On obtient un graphe partiel en supprimant des arcs. G admet 2^m graphes partiels. On appelle induits sommets et les arcs qui en ont alors plus de $2^m - 1$ graphes induits (cf fig 2)

2) Degré, chemins, forte connectivité

I.3 Def Soit $(a,b) \in E$. a est successeur de b si $(b,a) \in E$.
 a est prédécesseur de b si $(a,b) \in E$.
 a est degré sortant de a , noté $\text{deg}^+(a)$ est son nombre de successeurs entrant $\text{deg}^-(a)$ prédécesseurs

I.4 Rq $\sum_{u \in V} \text{deg}^+(u) = \sum_{u \in V} \text{deg}^-(u) = m$

I.5 Def Soit $(a_i) \in V^2$. Soit $(a_i = (a_i, m_i))_{i \in \{1, \dots, n\}} \in E^k$ où $k \geq 1$.
 $(a_i)_{i \in \{1, \dots, n\}}$ est un chemin de a à b si $m_0 = a, \forall i \in \{1, \dots, n\} m_i = m_{i-1}, m_n = b$.
 L'appelle alors la longueur du chemin de a à b .
 si $a = b$ on parle de circuit

I.6 Def Soit $(a,b) \in V^2$. a et b sont fortement connectés dans G si il existe un chemin de a à b et un chemin de b à a de G .

I.7 Def La forte connectivité dans G est une relation d'équivalence sur V .

I.8 Def On appelle composante fortement connexe (CFC) les classes d'équivalence pour cette relation.

Un graphe est dit fortement connexe s'il n'a qu'une seule CFC.

3) Pondération

I.9 Def p est une pondération (ou metric) de G si $p \in \mathcal{F}(E, \mathbb{Z})$.
 Muni de p on dit que G est pondéré.
 I.10 Def $\beta = (a_i)_{i \in \{1, \dots, n\}}$ est un chemin dans G , son coût est $\sum_{i=1}^n p(a_i)$.
 Même en passant au min on n'a pas une distance car les coûts d'un chemin de a à b et d'un chemin de b à a n'ont pas à être égaux.

II Représentations de graphes

II.0 Il s'agit ici de coder de manière efficace l'objet mathématique qu'est le graphe orienté. On étudie donc l'impact de la complexité des algorithmes d'un tel encodage.

1) Représentations matricielles

II.1 Def La matrice d'adjacence de G est $(M_{ij})_{(i,j) \in \{1, \dots, n\}^2}$ où $M_{ij} = \begin{cases} 1 & \text{si } (i,j) \in E \\ 0 & \text{sinon} \end{cases}$

II.2 Def La matrice d'incidence de G est $(N_{ij})_{(i,j) \in \{1, \dots, n\} \times \{1, \dots, m\}}$ où $N_{ij} = \begin{cases} -1 & \text{si } (i,j) \in E \\ 1 & \text{si } (j,i) \in E \\ 0 & \text{sinon} \end{cases}$

II.3 Prop Pour $i \in \{1, \dots, n\}$ $\text{deg}^-(i) = \sum_{j=1}^m N_{ij} = \sum_{k=1}^m N_{ki}$

2) Représentation avec des listes d'adjacence

II.4 Def Pour $i \in \{1, \dots, n\}$ on note $\{s(j) \mid j \in \{1, \dots, n\}\}$ si j est successeur de i et $\{p(i) \mid i \in \{1, \dots, n\}\}$ si i est prédécesseur de j .
 Alors $TS = (\{s(i)\})_{i \in \{1, \dots, n\}}$ est le tableau des listes de successeurs
 $TP = (\{p(i)\})_{i \in \{1, \dots, n\}}$ est le tableau des listes de prédécesseurs

II.5 Rq : Dans certains algorithmes, on implémente la liste d'adjacence avec un arbre binaire de recherche ou un tas pour réduire la complexité.

3) Complexités comparées	matrice d'adjacence	matrice d'incidence	liste de successeurs	liste de prédécesseurs
II.6 espace mémoire	$O(n^2)$	$O(n \times m)$	$O(m \times m)$	$O(m \times m)$
n_i et n_j successeurs de n_j ?	$O(1)$	$O(m)$	$O(1)$	$O(m)$
n_j prédécesseur de n_i ?	$O(1)$	$O(m)$	$O(m)$	$O(1)$
a est-elle incidente à m_i ?	$O(1)$	$O(1)$	$O(1)$	$O(1)$
parcourir les successeurs de n_i ?	$O(n)$	$O(m)$	$O(\log^+(n_i))$	$O(m)$
parcourir les prédécesseurs de n_j ?	$O(n)$	$O(m)$	$O(m)$	$O(\text{deg}^-(n_j))$

pas obligé d'en parler car avec un algo plus simple on n'aurait pas pu...

III Parcours de graphes orientés

1) Parcours en général

III.0 Un parcours fournit un ordre de visite des sommets du graphe affectant certaines de ses propriétés structurales. Les algorithmes de parcours sont à la base de nombreux algorithmes tels que Dijkstra, Bellman-Ford, Prim...

III.1 Def Soit $V^0 \subseteq V$ un ensemble de sommets de G . La bordure de V^0 est l'ensemble des successeurs de sommets de V^0 qui ne sont pas dans V^0
 del. del $B(V^0) = \{y \in V, y \neq v_0 \mid \exists x \in V^0, (x, y) \in E\}$

III.2 Def Un parcours de G est une liste $(s_i)_{i \in [0, n]}$ des sommets de G tel que $\forall i \in [1, n-1] \exists (s_{i-1}, s_i) \in E$

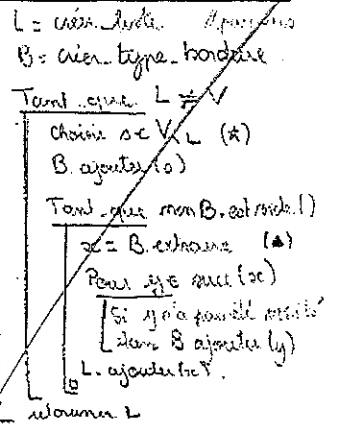
III.3 On considère le parcours en ajoutant successivement les sommets dans une liste L .
 Pour gérer la bordure de la liste courante il nous faut une structure de donnée munie des opérations

- créer
- est-vide
- ajouter
- extraire

Le contre on change par bordure ce type abstrait. On aura dans la suite qu'on peut utiliser des piles, files, files de priorité selon des choix associés au sommet...

Ex En * la bordure est vide.

PARCOURS GÉNÉRIQUE (G)



III.4 Pré la complexité de PARCOURS GÉN. est $O(n \times (ajout + ext + extraire))$

2) Parcours en largeur Cf fig 5.

III.4 On obtient un parcours en largeur en choisissant d'implémenter le type bordure par une file (on visite d'abord les successeurs du premier visité dans B)

III.5 Rq Si v est le premier sommet visité et si w est à distance k de v alors tous les sommets à distance inférieure à k de v ont été visités avant w . Autrement dit on parcourt les sommets par distance à la racine visitant ceux qui peuvent être calculés dans une antécédence la distance à la source (en nombre d'arcs).

III.6 Rq Dans le cas d'un graphe infini, le parcours en largeur garantit que l'on visitera un jour chaque sommet. Cela peut notamment à déterminer une IT.

3) Parcours en profondeur Cf fig 5.

III.7 On obtient un parcours en profondeur en choisissant d'implémenter le type bordure par une pile (on visite d'abord les successeurs du dernier visité de B)

III.8 Def Considérant une exécution d'un parcours en profondeur de G et pour $s \in V$ on définit
 \rightarrow pré(s) = la date de prévisite de s
 = le moment où s a été dépilé de la bordure (A)
 \rightarrow post(s) = la date de post-visite de s
 = le moment où tous les successeurs de s ont été visités (□)

III.9 Def Un tri topologique des sommets de G est une suite ordonnée $(s_i)_{i \in [1, n]}$ de sommets telle que $(s_i, s_j) \in E \Rightarrow i < j$.

III.10 Pr Trier les sommets selon des valeurs de post-visite décroissantes fournit un tri topologique, pourvu que le graphe soit acyclique.

III.11 Pr G présente un circuit si et seulement si $\exists x \in V$ tel que $\exists y \in succ(x)$ tel que $\text{pré}(y) \leq \text{pré}(x)$ et $\text{post}(y) \geq \text{post}(x)$.
 (c'est descendant de y dans G)

$L \rightarrow$ On peut donc utiliser un parcours en profondeur pour la détection de circuits

III.12 Pour calculer les CF de G on commence par calculer $L = \text{PARCOURS-PROF}(G)$, on calcule ensuite G^t le transposé de G défini par $(y, x) \in E^t \Leftrightarrow (x, y) \in E$. On applique alors le parcours en profondeur à G^t en modifiant la ligne (*) pour choisir s selon l'ordre défini par L ; et repartir à ce moment là qu'on a une nouvelle CF.

IV Chemins dans un graphe

A) Plus courts chemins

III.13 Calculer des itinéraires revient à calculer des plus courts chemins dans un graphe orienté pondéré connexe, ceci n'a sens que lorsque le graphe ne présente pas de circuit de poids négatif.

1) Algorithme de Bellman-Ford

Entrée: G graphe orienté connexe
 p pondération de G sur G
 s un sommet de G

Sortie les longueurs des plus courts chemins de s à chacun des sommets et 11 s'il n'y a pas de cycle SC, FAUX sinon

BELLMAN-FORD (G, p, s) (III.1)

d = tableau indexé par V initialisé à $+\infty$; $d[s] = 0$
 Pour i allant de 0 à $|V|-1$
 Pour chaque $(u, v) \in E$
 Si $d[u] > d[u] + p(u, v)$
 alors $d[v] = d[u] + p(u, v)$
 Pour chaque $(u, v) \in E$ Si $d[u] > d[u] + p(u, v)$ alors retourner FAUX
 retourner d

IV.2 Pr Si G est donné codé par une liste d'adjacence, l'algorithme de BF termine en $O(m \cdot n)$.

2) Algorithme de Dijkstra

Entrée G graphe orienté connexe
 p pondération ≥ 0
 s sommet de G

Sortie d tableau des longueurs des plus courts chemins à s .

DIJKSTRA (G, p, s) (IV.3)

d : tableau indexé par V initialisé à $+\infty$; $d[s] = 0$
 F : cr. file de priorité - min
 Pour tout $u \in V$,
 [F . ajouter ($u, d[u]$)]
 Tant que non F . est vide
 $u = F$. extraire-min.
 pour chaque $v \in \text{succ}(u)$
 [si $d[v] > d[u] + p(u,v)$
 alors $d[v] = d[u] + p(u,v)$
 ajouter v]

IV.4) Complexité: - avec une liste: $O(n^2)$ et une liste d'adjacence
 - avec un tas min: $O(m \log n)$ pour avoir $sorte = O(3)$

3) Algorithme de Floyd-Warshall

L'algorithme de Floyd-Warshall est un algorithme de programmation dynamique permettant de calculer la distance min entre tout couple de sommets d'un graphe sans cycles de poids négatif.

Entrée: G, w graphe pondéré sans cycle négatif

Sortie: Tableau T tel que $T[i,j] = d(i,j)$
 si les sommets sont $1, \dots, n$

IV.6 Complexité en $O(n^3)$

FLOYD-WARSHALL (G, w) (IV.5)

$D := w$
 Pour $k = 1$ à n faire
 $D^{(k)} = (d_{ij}^{(k)})$
 Pour $i, j \in \{1, \dots, n\}$ faire
 $d_{ij}^{(k)} = \min(d_{ij}^{(k-1)}, d_{ik}^{(k-1)} + d_{kj}^{(k-1)})$
 Retourner $D^{(n)}$

B) Chemin Hamiltonien et Voyageur de Commerce

1) Chemin Hamiltonien: Un chemin hamiltonien est un chemin passant une et une seule fois par chaque sommet.

Def: $HAM(G)$ est le problème de décision associé à l'existence d'un chemin hamiltonien dans G .

Théorème: HAM est NP-complet. ← DEVI

2) Voyageur de Commerce. Le problème du voyageur de commerce (PVC) est de trouver dans un graphe complet le cycle hamiltonien de poids min
Pr: Si w vérifie l'inégalité Δ , il existe un algo d'approx. 2 ord. pd. utilisant PADM.

V Problèmes de réseaux

1) Problème de modulation

IV.0 Le problème est d'installer un réseau électrique alimentant un ensemble de villes, à moindre coût, en reliant les axes où il est possible d'installer des lignes et à quel coût.

IV.1 On le modélise par un graphe non orienté, pondéré où les sommets sont les villes, les arcs sont les axes d'installation possibles, et leur poids le coût de réalisation de la ligne. On le suppose connexe quitte à travailler composante par composante.

2) Problème d'arbre couvrant dans un graphe non orienté

IV.2 Def G est non orienté si $\forall (u,v) \in E, (v,u) \in E$.
 On le note alors $G = (V, E)$ où $E = \{ (u,v) \mid (u,v) \in \bar{E} \}$ ($m = \#E$ plus $\#E$)
 ($m = \#V$)

IV.3 On a un graphe non orienté comme cas particulier de graphe orienté pourvu de vérifier les définitions mais la terminologie change:

arc \rightarrow arête | sommets fortement connectés \rightarrow sommets connexes
 chemin \rightarrow chaîne | composantes fortement connexes \rightarrow composantes connexes
 circuit \rightarrow cycle | graphe fortement connexe \rightarrow graphe connexe

IV.4 Def G est un arbre $\Leftrightarrow G$ est connexe acyclique (ie sans cycle)

IV.5 Pr G connexe minimal $\Leftrightarrow G$ est acyclique maximal
 $\Leftrightarrow G$ connexe et $\#E = \#V - 1 \Leftrightarrow G$ acyclique et $\#E = \#V - 1$

IV.6 Pr Un arbre couvrant de G est un graphe partiel de G qui est un arbre
 - Si G est pondéré, un arbre couvrant de poids minimal (ACPM) est un arbre couvrant dont la somme des poids de ses arêtes est minimale.

IV.7 Pr Il existe toujours un ACPM, mais il n'y a pas unicité si pondéré.

3) Résolution des problèmes et algorithmes

IV.8 Une solution au problème revient donc un ACPM du graphe pondéré. On présente ici deux algorithmes de calcul d'ACPM (entrée G pondéré pondéré, poids un ACPM) qui sont mis à jour avec l'ajout d'un algorithme plus général \rightarrow DEVI.

Prim ($G=(V,E), p$)

$A =$ une liste; $V_A =$ une liste
 l'ensemble de V ; V_A ajoutés (s)
 tant que V_A n'est pas V
 choisir $(i,j) \in E$ de coût min tel que
 V_A ajoutés (i,j); V_A ajoutés (i,j)
 retourner A .

Kruskal ($G=(V,E), p$)

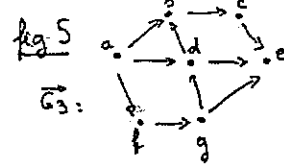
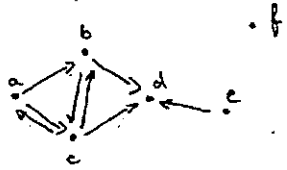
$L =$ liste des arêtes triées selon p croissant
 $A =$ une liste, $i = 0$
 tant que (V, A) n'est pas connexe
 $i \leftarrow i + 1$
 si e_i connecte 2 composantes connexes de (V, A)
 alors A ajoutés (e_i)
 retourner A .

\hookrightarrow en $O(m \log n) + m \log n$
 pour une implémentation

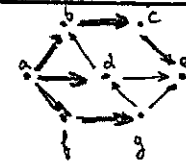
par la vraie complexité!

le mot en des (au début)

fig 1: $\vec{G} = (V, \vec{E})$
 $V = \{a, b, c, d, e, f\}$
 $E = \{(a, b), (a, c), (b, d), (c, d), (b, c), (c, b), (e, d), (c, a)\}$



$L = [a, b, d, f, c, e, g]$
 parcours en largeur



$L = [a, b, c, e, d, f, g]$
 parcours en profondeur

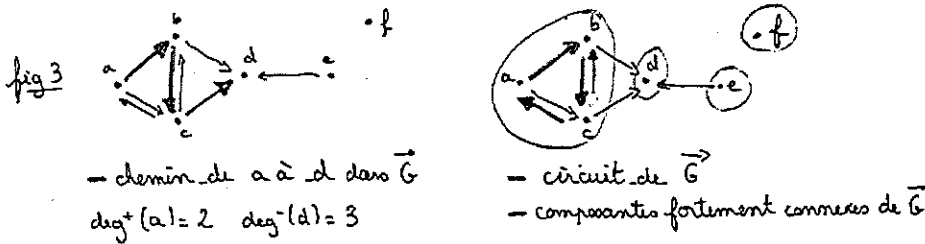
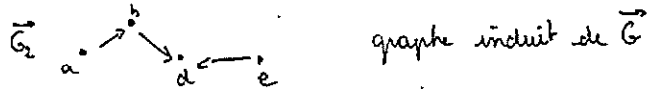
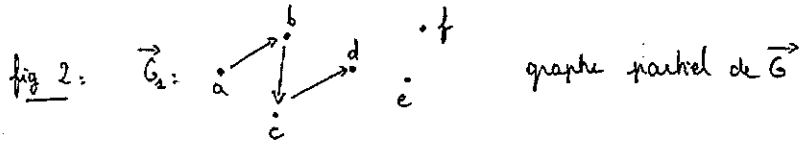
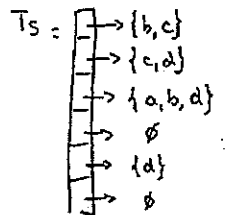


fig 4: Pour \vec{G}

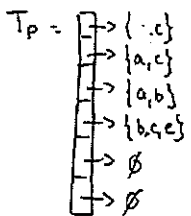
	a	b	c	d	e	f
a	0	1	1	0	0	0
b	0	0	1	1	0	0
c	1	1	0	1	0	0
d	0	0	0	0	0	0
e	0	0	0	1	0	0
f	0	0	0	0	0	0



Chaque colonne $\leftarrow N =$

	a	b	c	d	e	f
a	-1	-1	0	0	0	0
b	1	0	-1	0	-1	0
c	0	1	0	-1	-1	0
d	0	0	1	1	0	1
e	0	0	0	0	0	-1
f	0	0	0	0	0	0

$-1 = \text{départ}$
 $+1 = \text{arrivée}$



Bibliographie

- Cormen
- Caron
- COGJS-ROBERT "Théorie des graphes"

CYCLES ET COCYCLES

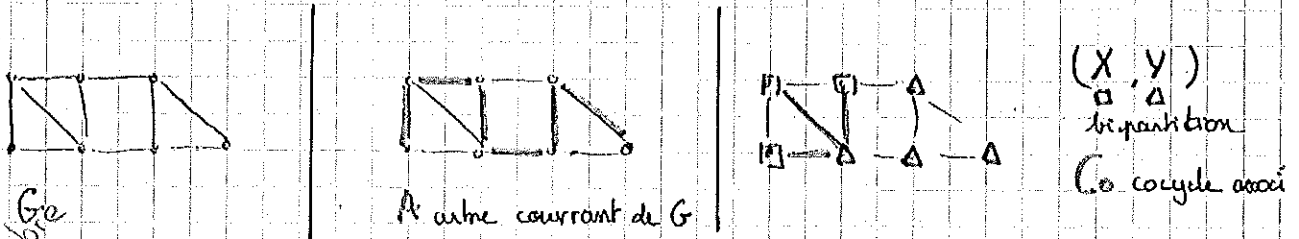
Soit $G=(V,E)$ un graphe non orienté connexe $\#V=n$ $\#E=m$.

- G est un arbre $\Leftrightarrow G$ est connexe et acyclique $\Leftrightarrow G$ connexe et $m=n-1$
 $\Leftrightarrow G$ acyclique et $m=n-1$
 $\Leftrightarrow G$ est connexe minimal (ie tt ajout d'arête lui fait perdre sa connexité)
 $\Leftrightarrow G$ est acyclique maximal (ie tt ajout d'arête introduit un cycle)

Un arbre couvrant de G est un sous-graphe de G qui est un arbre.

Rq: En tant que sous-graphe ses sommets sont exactem^t ceux de G
 Ce qui importe c'est quelles arêtes de G il sélectionne.
 Dans la suite je dirai "A est un arbre couvrant de G" pour (V,A) est un arbre couvrant

Une coupe de G est une bipartition de V .
 Le cocycle associé à la coupe (V_1, V_2) est $\{(u,v) \in E \mid u \in V_1 \text{ et } v \in V_2 \text{ ou vice versa}\}$.



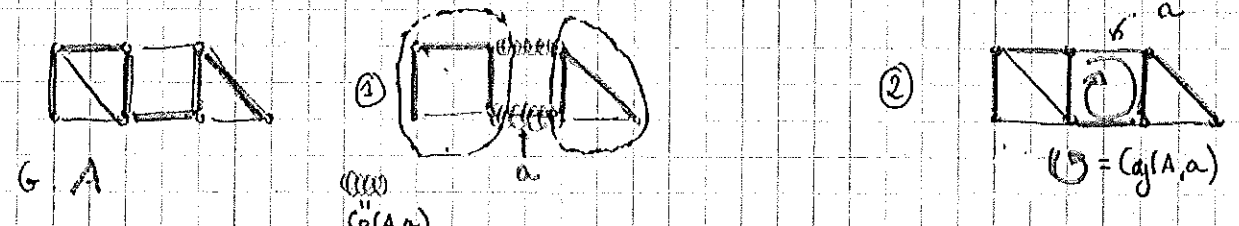
On peut montrer les def. et le premier lemme dans le plan

Lemme de l'échange de l'arbre

Soit A un arbre couvrant de G . (A^c désigne $E \setminus A$)
 $A = \{\text{ens d'arêtes}\}$
 $(A \text{ couvrant} \Rightarrow \text{ses sommets sont exactement ceux de } G)$

① Pour $a \in A$, il existe un unique cocycle noté $Co(a, A)$ tel que $Co(a, A) \cap A = \{a\}$.
 De plus pour tout $b \in Co(a, A)$, $A \cup \{b\} \setminus \{a\}$ est encore un arbre couvrant

② Pour $a \in A^c$, il existe un unique cycle noté $Cy(a, A)$ tel que $Cy(a, A) \cap A^c = \{a\}$.
 De plus pour tout $b \in Cy(a, A)$, $A \cup \{a\} \setminus \{b\}$ est encore un arbre couvrant



Preuve:
 ① Soit $a=(u,v)$ une arête de A . En tant que arbre A (ou plutôt (V,A)) est connexe minimal, donc a est un isthme c-à-d que $A \setminus \{a\}$ est séparé en 2 composantes connexes: celle de u et celle de v , ceci fournit naturellement une coupe (U, V) dont le cocycle associé contient a (U sommets reliés à u de $A \setminus \{a\}$, idem pour V). De plus ce cocycle ne contient aucune autre arête de A , car elle serait dans $A \setminus \{a\}$ et relierait la dif. de composantes connexes. Donc l'existence
 Si le cocycle associé à la bipartition (X, Y) contient a par ex $u \in X$ et $v \in Y$. Si $s \in U$ il existe dans $A \setminus \{a\}$ un chemin le reliant à u donc $s \in Y$, sinon ce chemin aurait une arête dans le cocycle. IMPOSSIBLE.
 Donc niec $s \in X$. Donc $U \subset X$, symétriquement $V \subset Y$, donc $X=U, Y=V$. D'où l'unicité

Pour $b \in Co(a, A)$ b joint U et V les 2 comp. connexes de $A \setminus \{a\}$. Ainsi $A \cup \{b\} \setminus \{a\}$ est connexe et a $m-1$ arêtes \rightarrow c'est l'arbre couvrant

② Soit $a=(u,v) \notin A$. Il existe un unique chemin de u à v dans A , en le concaténant à a on obtient un cycle dont la seule arête de A^c est a . Il répond aux pb et est unique car cette construction est nécessaire. Ce cycle est le seul de $A \cup \{a\}$ donc pour $b \in Cy(a, A)$ $A \cup \{a\} \setminus \{b\}$ est de nouveau acyclique, et a $m-1$ arêtes \rightarrow c'est bien un arbre couvrant. \square

ARBRES COUVRANTS DE POIDS MINIMAL (ACPM)

↳ Cois et Robert
Théorie des graphes, au delà
des ports de Königsberg
ed. Vuibert
p106-118

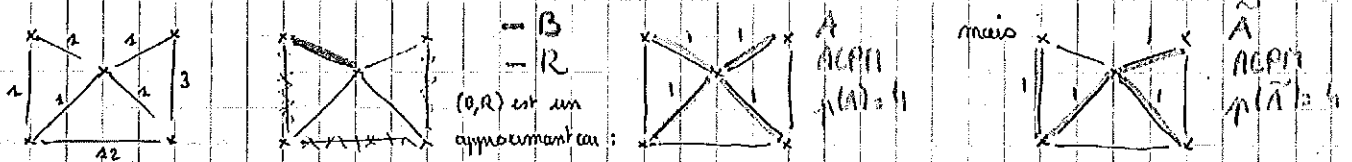
Soit $G=(V,E)$ un graphe non orienté connexe $\#V=n$ $\#E=m$.
Soit p une pondération des arêtes de G et une f de E dans \mathbb{N} .

Pour A un arbre couvrant de G (A désigne subint des arêtes, le vrai arbre est (V,A))
son poids sera $w(A) = \sum_{a \in A} p(a)$.

Un ACPM est un arbre couvrant dont le poids est min. parmi les arbres couvrants.

(B,R) est un approximant de $G \Leftrightarrow \begin{cases} B \subseteq E, R \subseteq E \text{ et } B \cap R = \emptyset \\ \text{il existe } A \text{ un ACPM tq } B \subseteq A \text{ et } R \subseteq A^c = E \setminus A. \\ \text{Je dirais alors que } A \text{ justifie l'approximant.} \end{cases}$

⚠ Tout arbre couvrant de poids min ne couvrira pas nécessairement B .
De m^e et ACPM n'exclura pas m^e R



Si (B,R) est un approximant de G et $a \in E$

- a est blanche $\Leftrightarrow a \in B, a \in R$
- a est bleue $\Leftrightarrow a \in B$
- a est rouge $\Leftrightarrow a \in R$

R₁ Aucun cycle ne peut être à la fois
Aucun cocycle ne peut être rouge.

- (\emptyset, \emptyset) est toujours un app.
- (B,R) approximant $\left. \begin{matrix} \} \\ \#B = m-1 \end{matrix} \right\} \Rightarrow B$ est un AC.
- (B,R) approximant $\left. \begin{matrix} \} \\ \#R = m-(n-1) \end{matrix} \right\} \Rightarrow R$ est un AC.

L'idée est de construire un ACPM en faisant grandir un approximant à partir de (\emptyset, \emptyset) , ce qui veut dire qu'on va colorier les arêtes en bleu ou en rouge selon qu'on les sélectionne ou qu'on les rejette. On donne donc deux règles qui permettent un cobrillage valide.

Pré ① Si (B,R) est un approximant
 C_0 un cycle $\subseteq B^c$
 $a \in C_0 \cap R$ minimale
alors $(B \cup a, R)$ est un approximant

RÈGLE BLEUE
ie du COCYCLE
Choisir C_0 un cycle rouge et blanc
Choisir $a \in C_0$ min parmi les arêtes blanc
La colorier en bleu

② Si (B,R) est un approximant
 C un cycle $\subseteq R^c$
 $a \in C \cap B$ maximal
alors $(B, R \cup a)$ est un approximant

RÈGLE ROUGE
ie du CYCLE
Choisir C un cycle bleu et blanc
Choisir $a \in C$ max parmi les arêtes blanc
La colorier en rouge.

Preuve ① Soitons (X,Y) la coupe associée au cycle considéré C_0 et
Soit A un ACPM justifiant l'approximant (B,R) (ie un ACPM tq $B \subseteq A$ et $R \subseteq A^c$).

- $\rightarrow C_0$ ne peut être complètement rouge (sinon A , qui ne prend pas d'arêtes rouges, ne relierait pas X et Y , or A - couvrant).
- \rightarrow Prendre a une arête blanche minimale dans C_0 a bien un sens.
- $\rightarrow A$, qui n'a que des arêtes bleues et blanches, en a nécessairement une dans C_0 , or C_0 n'a que des arêtes rouges et blanches, donc A a bien une arête blanche e dans C_0 . Par minimalité de A , $\text{cout}(A) = \text{cout}(A \cup e)$.
d'avis, grâce au lemme de l'échange, $(B \cup a, R)$ est encore un ACPM et justifie l'approximant $(B \cup a, R)$.

② Soit A un ACPM justifiant l'approximant (B, R)

- C ne peut être entièrement bleu (sinon A qui couvre les bleus n'est pas acyclique).
- Choisir la arête blanche maximale dans C a bien un sens
- A ne pouvant recouvrir C , A^c a nécessairement une arête dans C , or les arêtes de A^c sont rouges ou blanches et celles de C bleues ou blanches, on en déduit que A^c a une arête blanche dans C . La minimalité du poids de A assure la maximalité du poids de A^c . Donc coût (a) = coût (c) et grâce au lemme d'échange on en déduit $A_{\setminus \{a\} \cup \{c\}}$ est encore un ACPM donc $(B, R \cup \{a\})$ est encore un approximant. \square

On a donc l'algo générique suivant : ACPM : entrée : un graphe connexe non orienté G , p une valuation des arêtes
sortie : un ensemble d'arêtes définissant un ACPM de G .

ce n'est un algorithme non déterministe, on ne sait pas si on applique RB ou RR, et ni à quel cycle ou arête.

ACPM $(G = (V, E), p)$
init. toutes les arêtes sont blanches
tant qu'il y a des arêtes blanches
└ appliquer la règle bleue ou la règle rouge
envoyer les arêtes bleues.

Pré ACPM termine et fournit un arbre couvrant de poids min.

- ① A chaque étape (B, R) où $B = \{\text{arêtes bleues}\}$, $R = \{\text{arêtes rouges}\}$ est un approximant. En effet (B) est un app. et les règles bleue ou rouge préservent cet invariant.
- ② A chaque étape on peut bien appliquer l'une ou l'autre des règles (s'il reste une arête blanche). En effet soit a une arête blanche et soit A un ACPM justifiant l'approximant (B, R) .
→ soit $a \in A$. On considère alors $C_0(a, A)$, l'unique cycle de G tq $C_0(a, A) \cap A = \{a\}$. A part a qui est blanche, ce cycle n'a que des arêtes de A^c donc rouges ou blanches. On peut lui appliquer RB.
→ soit $a \notin A$. On considère alors $C_1(a, A)$, l'unique cycle de G tq $C_1(a, A) \cap A^c = \{a\}$. A part a qui est blanche, ce cycle n'a que des arêtes de A donc bleues ou blanches. On peut lui appliquer RR.
- ③ L'algo termine car à chaque étape on colore une arête et qu'il n'y en a qu'un nombre fini.
- ④ Quand la boucle dont que termine (B, R) est un approximant d'après 1 et $B \cup R = E$. Il existe un ACPM A justifiant (B, R) donc $B \subset A$ et $R \subset A^c$ donc $A \cup R^c = E \cup B = B$ d'où $A = B$, on renvoyant les arêtes bleues on fournit bien un ACPM. \square

Kruskal (G, p)
 $L =$ liste des arêtes triées par p croissant
 $A =$ liste vide
 $i = 0$
tant que (V, A) n'est pas connexe
┌ $i \leftarrow i + 1$
└ si e_i est connecte 2 composants, connexes de (V, A)
└ alors A ajouter (e_i)
retourner A .

Pré L'algorithme de Kruskal ci-dessus est une application particulière de ACPM, cela assure sa terminaison et sa correction.

Preuve Considérations bleues des arêtes de A , rouges celles considérées dans le tant que mais non sélectionnées dans A , blanches celles non encore considérées (ce les e_j pour $j > i$).

Cas du sinon : Si $e = (x, y)$, x et y sont dans la même composante connexe de A , ce qui par un chemin γ de A . Le cycle formé de γ et e est alors tout bleu sauf e , e est bien l'arête blanche de poids maximal du cycle, la passer (ce la règle, la colorer en rouge) c'est bien appliquer RR.

Cas du si : On suppose que A a deux comp. connexes A_1 et A_2 , et que e les relie. Quelle que soit la façon que A_1 et A_2 on considère un couple (X, Y) telle que $A_1 \subset X$ et $A_2 \subset Y$, ainsi $e \in C_0$ le cycle associé à (X, Y) . Une arête de ce cycle ne peut être bleue (diff. de comp. connexe de A), si elle est de poids $\leq p(e)$, alors on l'a déjà considérée elle est rouge. Donc e est l'arête blanche de poids min de ce cycle, la sélectionner c'est appliquer RB.

Prim (G, p)
 A = créer-liste
 VA = créer-liste
 Choisir $s \in V$
 VA.ajouter(s)
 Tant que VA $\neq V$
 Choisir $(x, y) \in E$ tq $\begin{cases} x \in VA \\ y \notin VA \end{cases}$ de coût min
 VA.ajouter(y)
 A.ajouter(x, y)
 retourner A

Prim-plus (G, p)
 A = créer-liste()
 B = créer-fila-de-priorité-min()
 Π = créer-tableau-indexé-par-V, initialisé à NULL
 $d = +\infty$
 Choisir $s \in V$; $d[s] = 0$; B.ajouter(s, d[s])
 Tant que non B. est vide()
 $x = B$.extraire()
 pour tout $y \in succ(x)$ non fermé
 si $d[y] > p(x, y)$
 alors $\Pi[y] = oc$
 $d[y] = p(x, y)$
 B.ajouter(y, d[y])
 A.ajouter($\Pi(x), x$)
 fermer oc.
 retourner A.

ou

Beauquier Berstelle Chrétienne
 (plus compact!)

Autres
 Dvpts possibles :

- voyageur de commerce (Prim)
- Kruskal / Prim
- Preuve de Dijkstra
- Floyd-Warshall

vs comment / sa fonctionne?
 Pourquoi?
 (Algo base)
 Ep. 2014/2015

(pls dvpts possible?)

Développement: NP-complétude du problème de l'existence d'un chemin hamiltonien dans un graphe

→ Prérequis: le problème 3-SAT est NP-complet.

Définition: Un chemin dans un graphe G orienté est dit hamiltonien si il passe une et une seule fois par chaque sommet.

Définition: On note $HAM(G)$ le problème de décision associé à l'existence d'un chemin hamiltonien dans le graphe G .

Théorème: HAM est NP-complet

• Etape 1: HAM est dans NP.

En effet, étant donné un chemin (une suite de sommets s_1, \dots, s_n), on peut vérifier en temps polynomial si il s'agit d'un chemin hamiltonien puisqu'il suffit de vérifier que $s_i \neq s_j$ si $i \neq j$.

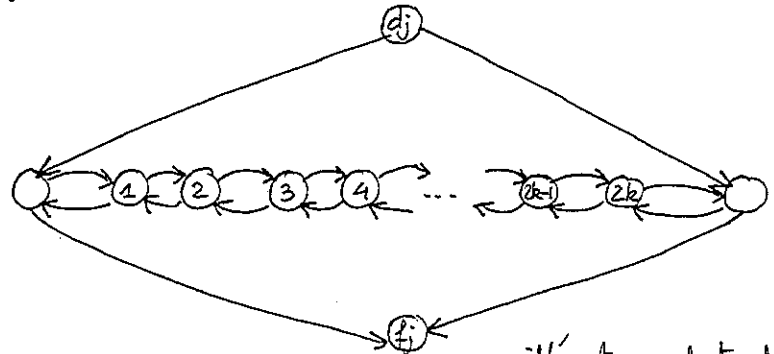
• Etape 2: HAM est NP-difficile.

Pour montrer cela, on va réduire le problème 3-SAT à HAM .

Soit $\Phi = C_1 \wedge \dots \wedge C_k$ une instance de 3-SAT. On va construire le graphe G_Φ tel que Φ satisfiable $\iff G_\Phi$ possède un chemin hamiltonien.

- On note m le nombre de variables apparaissant dans Φ .
- On suppose que chaque variable apparaît au plus une fois dans chaque clause. Ceci n'est pas contraignant puisque $x \vee x \equiv x$ et si x et \bar{x} apparaissent dans une clause C_i alors cette clause est automatiquement satisfaite.
- On note les variables x_j pour $j=1$ à m .

• Dans G_Φ , on va associer à chaque variable x_j ($j \in \{1, \dots, m\}$) un sous-graphe appelé gadget associé à x_j qui est représenté par le graphe suivant qui possède $2k+4$ sommets.

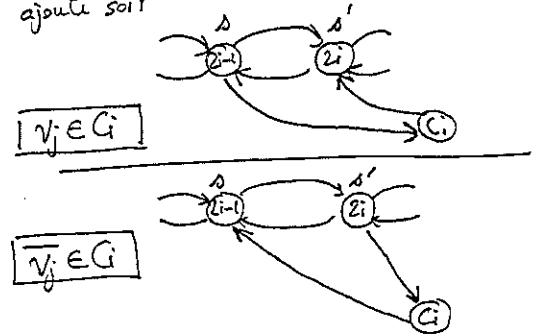


Le graphe G_Φ est obtenu à partir des différents gadgets de la manière suivante:

- $\forall j \in \{1, \dots, m-1\}$, on crée une arête entre f_j et d_{j+1}
- On ajoute k nouveaux sommets C_1, \dots, C_k associés à chacune des clauses et ajoute des arêtes dans les cas suivants:

Si la variable v_j apparaît (positivement ou négativement) dans la clause C_i , on note respectivement s et s' les sommets numérotés $2i-1$ et $2i$ dans le gadget associé à v_j et on ajoute soit

- l'arête $\overrightarrow{sC_i}$ et $\overrightarrow{C_i s'}$ si v_j apparaît positivement dans la clause C_i
- les arêtes $\overrightarrow{s' C_i}$ et $\overrightarrow{C_i s}$ si v_j apparaît négativement dans C_i



→ Le graphe G_Φ ainsi obtenu possède $k+m(2k+4)$ sommets et peut donc être construit en temps polynomial à partir de Φ .

Propriété: Φ est satisfiable ssi G_Φ possède un chemin hamiltonien
ssi G_Φ possède un chemin hamiltonien de d_s à f_m .

- Un chemin hamiltonien dans G_Φ va nécessairement de d_s à f_m puisque le degré entrant de d_s est nul et le degré sortant de f_m est nul.

Supposons Φ satisfiable. Il existe une valuation v telle que $v(\Phi) = 1$

- En particulier pour chaque clause C_i , il existe une variable $v_j(i)$ telle que soit :
- $v(v_j(i)) = 1$ et $v_j(i)$ apparaît positivement dans C_i .
 - $v(v_j(i)) = 0$ _____ négativement _____.

On construit un chemin hamiltonien de d_s à f_m en parcourant chaque gadget associé à v_j

- de gauche à droite: si $v_j = j(i)$ et v_j apparaît positivement dans C_i et puis en faisant un "détour" par C_i (ie en empruntant les arêtes $\overrightarrow{dC_i}$ et $\overrightarrow{C_i f}$).

- de droite à gauche: _____ négativement _____
_____ (_____) _____
 $\overrightarrow{dC_i}$ et $\overrightarrow{C_i f}$.

- On vérifie facilement que l'on ~~visite~~ parcourt une fois les sommets de chaque gadget et que chaque sommet C_i est rencontré car la variable $v_j(i)$ est telle que $v(v_j(i)) = 1$ et $v_j(i)$ apparaît positivement dans C_i .
ou _____ négativement _____.

Réciproquement, Si on a il existe un chemin hamiltonien allant de d_s à f_m alors nécessairement:

- Chaque gadget est parcouru de gauche à droite ou de droite à gauche et si un sommet C_i est visité juste après s dans le chemin emprunte $\overrightarrow{dC_i}$ juste après l'arête $\overrightarrow{C_i f}$ (resp $\overrightarrow{d'}$) (resp $\overrightarrow{C_i s}$)

sinon le sommet s' (resp s) n'est jamais rencontré par le chemin.

On construit alors une valuation qui satisfait Φ :

- si le gadget associé à v_j est parcouru de gauche à droite:
 on pose $v(v_j) = 1$

- _____ droite à gauche _____:
 on pose $v(v_j) = 0$

• Pour chaque clause C_i , il existe une gadget associé à v_j tel que C_i est parcouru lors du parcours du gadget associé à v_j .

Si ce gadget est parcouru de gauche à droite et que le chemin fait un détour par C_i , c'est que v_j apparaît ~~positivement~~ positivement dans C_i et on a posé $v(v_j) = 1$ donc $v(C_i) = 1$

Sinon v_j apparaît négativement dans C_i et on a posé $v(v_j) = 0$ donc $v(v_j) = 1$ puis $v(C_i) = 1$

On a bien fabriqué une valuation qui satisfait Φ .

- Comme 3-SAT est NP-^{dur} complet et qu'on l'a réduit en temps polynomial à HAM, HAM est également NP-difficile

Conclusion: On a bien prouvé que HAM est NP-complet.

Def: Cantors (page 193)